

И.Н. Смалихо

**ТОЧНОСТЬ ОЦЕНОК СКОРОСТИ ДИССИПАЦИИ ТУРБУЛЕНТНОЙ ЭНЕРГИИ ИЗ ВРЕМЕННОГО СПЕКТРА ФЛУКТУАЦИЙ СКОРОСТИ ВЕТРА**

Обсуждаются погрешности оценок скорости диссипации турбулентной энергии по максимуму правдоподобия из временных спектров скорости ветра, измеряемой акустическим анемометром и доплеровским лидаром.

**1. Введение**

В настоящее время известно несколько методов определения величины скорости диссипации турбулентной энергии в атмосфере, как правило, использующих закономерности инерционного интервала турбулентных вариаций скорости потока воздуха [1–3]. Наибольшее распространение получило оценивание скорости диссипации из временного спектра измеренной скорости ветра. При этом применяют гипотезу «замороженной» турбулентности [1].

Точность оценки скорости диссипации из временного спектра скорости ветра определяется различными факторами – состоянием атмосферы (интенсивность и характерные масштабы турбулентности), продолжительностью и геометрией зондирования, способом обработки данных, шумами и т.д. Поэтому при планировании измерений скорости диссипации представляется важным иметь результаты предварительных расчетов погрешности рассматриваемой характеристики в зависимости от этих факторов. Настоящая статья посвящена анализу такой погрешности при оценивании скорости диссипации турбулентной энергии из спектра скорости ветра по максимуму правдоподобия.

**2. Оценивание скорости диссипации**

Пусть имеется последовательность измеренных за время  $T = \Delta t M$  значений скорости ветра  $V(\Delta t m)$ , где  $m = 0, 1, \dots, M - 1$ ;  $\Delta t$  – интервал дискретности. С помощью быстрого преобразования Фурье из этой последовательности можно получить одностороннюю функцию спектральной плотности

$$\hat{S}\left(\frac{k}{T}\right) = \frac{2\Delta t}{M} \left| Z\left(\frac{k}{T}\right) \right|^2, \quad (1)$$

где

$$Z\left(\frac{k}{T}\right) = \sum_{m=0}^{M-1} V(\Delta t m) \exp\left[-j 2\pi \frac{mk}{M}\right], \quad k = 0, 1, \dots, M/2.$$

Будем считать, что для анализа временных статистических характеристик измеренной скорости  $V(t)$  применима гипотеза «замороженной» турбулентности [1]. Тогда при достаточно большом  $T$ , когда  $T \gg \tau_k$  – времени корреляции скорости ветра, можно выбрать частотный интервал  $[f_1, f_2]$ , в пределах которого оценка  $\hat{S}(f)$  является несмещенной (т.е.  $\langle \hat{S}(f) \rangle = S(f)$ , где  $\langle \dots \rangle$  – усреднение по ансамблю) и ее среднее значение описывается формулой

$$S(f) = \varepsilon^{2/3} Q(f), \quad (2)$$

где  $\varepsilon$  – средняя скорость диссипации турбулентной энергии;  $Q(f)$  – функция, параметром которой являются средняя скорость ветра  $U$  и размеры зондируемого объема. В частности, при изме-

рениях продольной компоненты скорости ветра в фиксированной точке  $Q(f) = 0,15U^{2/3}/f^{5/3}$  [1–3]. Частота  $f_1 = k_1/T$  является нижней границей инерционного интервала, а  $f_2 = k_2/T$  соответствует той наивысшей частоте, на которой вкладом шумов в измеренный спектр можно пренебречь.

Воспользовавшись формулой (2), получим оценку скорости диссипации турбулентной энергии из  $n$  оценок спектральных плотностей  $\hat{S}_i = \hat{S} [(k_0 + i)/T]$  на частотах, попадаемых в рассматриваемый интервал, где  $k_1 \leq k_0$  и  $k_0 + n \leq k_2$ ,  $i = 1, 2, \dots, n$ . Комплексная случайная величина  $Z(k/T)$  в силу условия  $T \gg \tau_k$  имеет нормальное распределение плотности вероятности с нулевым средним и с равными дисперсиями для действительной и мнимой частей  $Z$ , пропорциональными среднему спектру  $S(k/T)$ . Тогда плотность вероятности оценки спектра  $\hat{S}_i \sim |Z|^2$  будет иметь экспоненциальное распределение. При этом оценки  $\hat{S}_i$  и  $\hat{S}_l$  (при  $i \neq l$ ) являются независимыми. Следовательно, плотность вероятности вектора  $\hat{\mathbf{S}} = \{\hat{S}_1, \hat{S}_2, \dots, \hat{S}_n\}$  имеет вид

$$P(\hat{\mathbf{S}}) = \left( \prod_{i=1}^n \frac{1}{S_i} \right) \exp \left[ - \sum_{i=1}^n \frac{\hat{S}_i}{S_i} \right], \quad (3)$$

где в соответствии с (2)  $S_i = \varepsilon^{2/3} Q_i$ ,  $Q_i = Q [(k_0 + i)/T]$ . Считая, что значения  $Q_i$  известны, оценку скорости диссипации  $\hat{\varepsilon}$  из измеренного вектора  $\hat{\mathbf{S}}$  получим по максимуму правдоподобия [4]. Для этого необходимо взять производную по  $\varepsilon$  от логарифмической функции правдоподобия

$$L(\varepsilon) = \ln P(\hat{\mathbf{S}}) = - \sum_{i=1}^n \left[ \ln (\varepsilon^{2/3} Q_i) + \frac{\hat{S}_i}{\varepsilon^{2/3} Q_i} \right] \quad (4)$$

и решить уравнение

$$\left. \frac{dL(\varepsilon)}{d\varepsilon} \right|_{\varepsilon=\hat{\varepsilon}} = 0. \quad (5)$$

В результате имеем

$$\hat{\varepsilon} = \left( \frac{1}{n} \sum_{i=1}^n \frac{\hat{S}_i}{Q_i} \right)^{3/2}. \quad (6)$$

### 3. Статистические характеристики оценки скорости диссипации

Разделим обе части выражения (6) на среднее значение скорости диссипации  $\varepsilon$ . Тогда с учетом (2) нормированную величину полученной оценки можно представить в виде

$$\hat{\varepsilon}/\varepsilon = x_n^{3/2}, \quad (7)$$

где

$$x_n = \frac{1}{n} \sum_{i=1}^n \frac{\hat{S}_i}{S_i}, \quad (8)$$

в соответствии с (3) имеем гамма-распределение плотности вероятности

$$P(x_n) = (n^n / [\Gamma(n)]) x_n^{n-1} e^{-nx_n}, \quad (9)$$

где  $\Gamma(n)$  – гамма-функция;  $x_n \in [0, \infty]$ . Для среднего значения  $x_n^n$  имеем

$$\langle x_n^n \rangle = \int_0^\infty dx_n x_n^n P(x_n) = \frac{\Gamma(n+n)}{n^n \Gamma(n)}. \quad (10)$$

Воспользовавшись этой формулой, для среднего нормированного значения  $B = \langle \hat{\varepsilon}/\varepsilon \rangle$  и относительной случайной погрешности  $E = [\langle (\hat{\varepsilon}/\varepsilon)^2 \rangle - B^2]^{1/2}$  оценки скорости диссипации находим:

$$B = \Gamma(3/2 + n)/[n^{3/2} \Gamma(n)]; \quad (11)$$

$$E = \left[ \left(1 + \frac{1}{n}\right) \left(1 + \frac{2}{n}\right) - \left(\frac{\Gamma(3/2 + n)}{n^{3/2} \Gamma(n)}\right)^2 \right]^{1/2}, \quad (12)$$

где в (12) были использованы свойства гамма-функции  $\Gamma(3 + n) = n(n + 2) \Gamma(n)$ .

Из (11) следует, что в общем случае  $B \neq 1$ , т.е. оценка  $\hat{\varepsilon}$  является смещенной. Полная погрешность, с учетом такого смещения, определяется формулой [5]  $A = [E^2 + (B - 1)^2]^{1/2}$ . При  $n = 1$  соответственно из (11) и (12) имеем  $(3/4)\sqrt{\pi} \approx 1,33$  и  $E = \sqrt{6 - 9\pi/16} \approx 2,06$ . Такие оценки  $\hat{\varepsilon}$  будут превышать  $\varepsilon$  в 1,33 раза, а их случайный разброс относительно  $\varepsilon$  очень большой. Рассмотрим представляющий интерес для практики случай  $n \gg 1$ . В (11) и (12) мы можем воспользоваться асимптотической формулой [6]:

$$\Gamma(3/2 + n)/\Gamma(n) \approx n^{3/2} \left(1 + \frac{3}{8} \frac{1}{n} + \dots\right). \quad (13)$$

После разложения выражений (11) и (12) в ряд по степеням  $n^{-1}$  и удержания слагаемых, вносящих основной вклад в соответствующие характеристики, получаем

$$B = 1, \quad E = \frac{3}{2} \frac{1}{\sqrt{n}}, \quad (14)$$

откуда следует, что при  $n \gg 1$  оценка  $\hat{\varepsilon}$  является несмещенной, а ее погрешность пропорциональна  $n^{-1/2}$ .

#### 4. Сравнение с экспериментальными данными

С целью проверки полученных зависимостей  $B$  и  $E$  от числа  $n$  спектральных компонент  $\hat{S}_i$ , выбранных для оценки скорости диссипации, были использованы результаты измерений скорости ветра акустическим анемометром [7] на высоте 6 м от поверхности Земли. Полученная из этих данных оценка средней скорости ветра  $\hat{U}$  равна 3,45 м/с. По формуле (1) рассчитывался спектр скорости ветра. На рис. 1 приведен спектр, сглаженный (усредненный) по 100 статистическим степеням свободы. На рисунке показан интервал  $[f_1, f_2]$ . Используя все оценки  $\hat{S}_i$ , попадаемые в этот интервал, по формуле (6) (где значения  $Q_i$  полагались равными  $0,15 \hat{U}^{2/3} [(k_0 + i)/T]^{-5/3}$ ) рассчитывалась средняя скорость диссипации  $\bar{\varepsilon}$ . Она составила  $0,046 \text{ м}^2/\text{с}^3$ . При расчете первого и второго моментов величины  $x_n^{3/2}$  по формуле (8) для  $S_i$  использовалось выражение  $S_i = 0,15 (\hat{U} \bar{\varepsilon})^{2/3} [(k_0 + i)/T]^{-5/3}$ . Результат расчета таких компонент спектра  $S_i$  показан на рис. 1 в виде прямой линии в рассматриваемом интервале частот  $[f_1, f_2]$ .

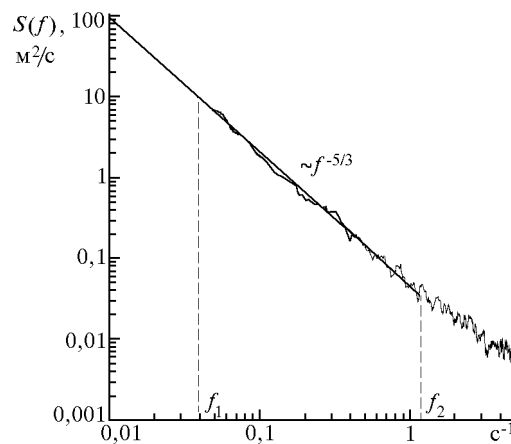


Рис. 1. Спектр скорости ветра

На рис. 2 в виде крестиков и квадратиков представлены экспериментальные зависимости соответственно  $B$  и  $E$  от  $n$ . Здесь же в виде сплошных кривых приведены рассчитанные по формулам (11) и (12) аналогичные теоретические зависимости (кривая 1 –  $B$ , кривая 2 –  $E$ ). Погрешность экспериментальных значений  $E$  не превышает 15%. Видно удовлетворительное соответствие теории и эксперимента. Уже при  $n = 10$  оценка  $\hat{\epsilon}$  является практически несмещенной ( $B \approx 1$ ), но относительная погрешность еще довольно большая и составляет примерно 50%.

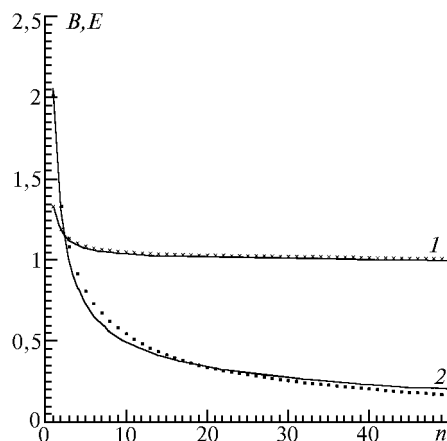


Рис. 2. Зависимость нормированной величины  $B$  и относительной случайной погрешности  $E$  оценки скорости диссипации турбулентной энергии от числа  $n$  спектральных компонент, используемых при обработке данных. Крестики и кривая 1 – данные для  $B$ ; квадратiki и кривая 2 – данные для  $E$ ; крестики и квадратiki – эксперимент; сплошные кривые – теория

## 5. Учет погрешности оценки средней скорости ветра

Согласно (14) погрешность оценки скорости диссипации можно сделать сколь угодно малой путем увеличения  $n$ . Так, при максимальном  $n = 800$ , имевшем место в эксперименте,  $E \approx 0,05$ . Однако в действительности ошибка будет выше из-за погрешности в оценке средней скорости ветра  $\hat{U}$ . Фактически показанные на рис. 2 экспериментальные данные представляют собой  $\langle \hat{\epsilon} \hat{U} / \epsilon U \rangle$  и  $[\langle (\hat{\epsilon} \hat{U} / \epsilon U)^2 \rangle - \langle \hat{\epsilon} \hat{U} / \epsilon U \rangle^2]^{1/2}$ , где  $U$  – истинная средняя скорость ветра. Поэтому с учетом отличия  $\hat{U}$  от  $U$  для нормированной оценки скорости диссипации, получаемой из результатов измерений скорости ветра в точке, вместо (7) следует использовать выражение

$$\hat{\epsilon} / \epsilon = (U / \hat{U}) x_n^{3/2}. \quad (15)$$

В случае измерения непрерывным доплеровским лидаром временной спектр скорости ветра  $S(f)$  представляет собой произведение спектра скорости ветра в фиксированной точке, находящейся в центре зондируемого объема, на  $H(f)$  – функцию низкочастотного фильтра, определяемую продольным размером  $\Delta z$  этого объема. Вид этой функции приведен, в частности, в работе [8]. При  $\Delta z \rightarrow 0$  функция  $H(f) \rightarrow 1$  и тогда нормированная оценка скорости диссипации будет определяться формулой (15). В другом предельном случае больших  $\Delta z$  для спектра в [8] получена асимптотическая формула:

$$S(f) = 0,06 \epsilon^{2/3} (U \sin \gamma)^{5/3} (1 / \Delta z) f^{-8/3}, \quad (16)$$

где  $\gamma$  – угол между направлением ветра и осью зондирующего пучка. Информацию об  $U$  и  $\gamma$  можно получить, например, из дополнительных измерений сканирующим доплеровским лидаром. Естественно, что измеренная величина скорости  $\hat{U}$  будет отличаться от истинного значения средней скорости  $U$ . Из (2), (6), (16) и (17), с учетом этого отличия, в пренебрежении погрешностью в оценках угла  $\gamma$ , нетрудно получить выражение

$$\hat{\epsilon} / \epsilon = (U / \hat{U})^{5/2} x_n^{3/2}. \quad (17)$$

Будем считать, что в (15) и (17) погрешность  $\tilde{U} = \hat{U} - U$  мала по сравнению с  $U$ . Тогда для  $\hat{\varepsilon}/\varepsilon$  можно записать приближенную формулу

$$\hat{\varepsilon}/\varepsilon = (1 - \alpha \tilde{U}/U) x_n^{3/2}, \quad (18)$$

где для случая точечных измерений  $\alpha = 1$ , а при измерениях доплеровским лидаром в большом зондируемом объеме  $\alpha = 5/2$ . Если оценка скорости ветра является несмещенной ( $\langle \hat{U} \rangle = U$ ), то, как показано выше, при достаточно большом  $n$  оценка  $\hat{\varepsilon}$  также не имеет смещения ( $B = 1$ ). Из (7)–(14) и (18) при  $n \gg 1$  для относительной погрешности  $E$  с учетом флуктуаций оценки средней скорости ветра получаем

$$E = [9/4n + \alpha^2 \sigma_{\hat{U}}^2]^{1/2}, \quad (19)$$

где  $\sigma_{\hat{U}}^2 = \langle (\tilde{U}/U)^2 \rangle$  – относительная дисперсия оценки скорости ветра.

Из (19) следует, что в случае небольших погрешностей оценок скорости ветра, удовлетворяющих условию

$$\alpha^2 \sigma_{\hat{U}}^2 \ll 9/(4n), \quad (20)$$

значения  $E$  для точечного измерителя и доплеровского лидара практически не будут отличаться при одном и том же числе  $n$ . Если реализуется обратное условие

$$\alpha^2 \sigma_{\hat{U}}^2 \gg 9/(4n), \quad (21)$$

то при одинаковой точности измеренных средних скоростей ветра погрешность лидарной скорости диссипации в 2,5 раза выше, чем соответствующая величина в случае точечного измерителя, в частности использованного в эксперименте акустического анемометра. Так как при большом  $n$  условие (21) вполне может реализоваться на практике, требования к точности оценивания средней скорости ветра в доплеровских лидарных измерениях скорости диссипации должны быть более жесткими, чем в случае акустического анемометра.

Пусть при измерении в точке скорость  $\hat{U}$  определяется путем временного усреднения за период  $T \gg \tau_k$ . Тогда для  $\sigma_{\hat{U}}^2$  при стационарных условиях справедлива формула [2]

$$\sigma_{\hat{U}}^2 = 2\sigma_U^2 \tau_k/T, \quad (22)$$

где  $\sigma_U^2 = \langle V^2 \rangle / U^2 - 1$  относительная дисперсия мгновенных значений скорости ветра.

Таким образом, для  $E$  имеем

$$E = [9/4n + 2\sigma_U^2 \tau_k/T]^{1/2}. \quad (23)$$

В эксперименте, результаты которого приведены на рис. 1 и 2,  $\sigma_U^2 = 0,12$ ,  $\tau_k = 15$  с и  $T = 720$  с. Для таких параметров второе слагаемое в (23) равно 0,005. При максимально возможном в этом эксперименте  $n = 800$  первое слагаемое в (23) равно 0,0028. В результате относительная погрешность измерения скорости диссипации составляет примерно 10%, что вдвое больше соответствующего значения, полученного выше без учета флуктуаций оценок средней скорости ветра. Допустим, что оценка  $\hat{\varepsilon}$  получена из данных доплеровского лидара при таких же  $n$  и  $\sigma_{\hat{U}}^2$  ( $n = 800$ ,  $\sigma_{\hat{U}}^2 = 0,005$ ). Тогда в соответствии с формулой (19), где  $\alpha = 5/2$ , относительная погрешность такой оценки равна примерно 24%.

## 6. Заключение

В данной статье проведен анализ влияния количества несглаженных оценок спектра и погрешности измерения средней величины скорости ветра на точность оценки скорости диссипации турбулентной энергии по максимуму правдоподобия. Рассмотрены случаи измерения

скорости ветра акустическим анемометром («точечным» прибором) и непрерывным доплеровским лидаром при большом размере зондируемого объема. Показано, что влияние погрешности измерения средней скорости ветра на точность оценок скорости диссипации более существенно в случае доплеровского лидара.

Следует отметить, что в случае измерения ветра в фиксированной точке использование гипотезы «замороженности» турбулентности, с целью задания в формуле (2) функции  $Q(f_i)$  в явном виде, практически всегда является оправданным. То же самое можно утверждать и для измерений доплеровским лидаром скорости ветра в большом зондируемом объеме при условии достаточно сильного бокового ветра, когда флуктуации усредненной по объему зондирования скорости ветра определяются, в основном, переносом турбулентных вихрей средним потоком без эволюции вихрей за время пребывания в области локализации лазерного пучка. Как показывают эксперименты при малых углах  $\gamma$  и слабом ветре [9, 10], для анализа скорости, оцениваемой из большого лидарного объема зондирования, гипотеза «замороженной» турбулентности неприемлема. Следовательно, попытка воспользоваться формулой (16) для таких условий может привести к значительному смещению оценки скорости диссипации турбулентной энергии.

Работа выполнена при финансовой поддержке Российского фонда фундаментальных исследований (грант N 94-05-16601-а).

1. Монин А.С., Яглом А.М. Статистическая гидромеханика. Ч. 2. М.: Наука, 1967. 720 с.
2. Ламли Дж., Пановский Г. Структура атмосферной турбулентности. М.: Мир, 1966. 264 с.
3. Бызова Н.Л., Иванов В.Н., Гаргер Е.К. Турбулентность в пограничном слое атмосферы. Л.: Гидрометеиздат, 1989. 263 с.
4. Ван Трис Г. Теория обнаружения, оценок и модуляции. М.: Сов. радио, 1972. 744 с.
5. Бендат Дж., Пирсол А. Прикладной анализ случайных данных. М.: Мир, 1989. 540 с.
6. Справочник по специальным функциям / Под ред. М. Абрамовица и И. Стиган. М.: Наука, 1979. 830 с.
7. Патрушев Г.Я., Ростов А.П., Иванов А.П. // Оптика атмосферы и океана. 1994. Т. 7. N 11–12. С. 1636–1638.
8. Смалихо И.Н. // Оптика атмосферы и океана. 1995. Т. 8. N 10. С. 1457–1466.
9. Банах В.А., Вернер Х., Керкис Н.Н., Копп Ф., Смалихо И.Н. // Оптика атмосферы и океана. 1995. Т. 8. N 12. С. 1726–1732.
10. Банах В.А., Вернер Х., Копп Ф., Смалихо И.Н. // Оптика атмосферы и океана (в печати).

Институт оптики атмосферы СО РАН,  
Томск

Поступила в редакцию  
27 декабря 1996 г.

**I. N. Smalikhov. Accuracy of Turbulent Energy Dissipation Rate Estimation from Wind Velocity Temporal Spectrum.**

The errors of estimates of turbulent energy dissipation rates by likelihood maximum from temporal spectra of wind velocity measured with acoustic anemometer and Doppler lidar are discussed.